

冲锤-杆撞击反问题研究(I)^①

刘德顺

(湘潭矿业学院机械系, 湘潭 411201)

杨襄壁

(中南工业大学机械系, 长沙 410083)

摘要 首次提出了冲锤-杆撞击反问题概念, 论述了反问题的类型及其工程背景, 建立了冲锤-杆撞击离散化数学模型, 最后结合实例说明了冲锤-杆撞击反问题的一般求解原理。

关键词 撞击 反问题 应力波 系统设计

1 问题的提出

自本世纪五十年代末期以来, 世界各国学者结合工程实践, 对冲锤-杆撞击进行了大量的研究工作。用波动理论研究冲击式凿岩, 在理论和实践方面都有很大的进展。Fairhurst^[1,2]、Fischer^[3]、Dutta^[4]、Lundberg^[5]、赵统武^[6]、徐小荷^[7]等对冲锤-杆-岩石撞击系统进行了大量的理论与实验研究, 他们应用解析法、图解法和计算机技术研究冲锤-杆撞击系统在凿岩过程中应力波的性质和传输规律, 较系统地掌握了冲锤-杆撞击系统在冲击凿岩过程中的应力状态、不同形状冲锤产生的应力波及其对凿岩效率的影响, 这些研究成果对冲击式凿岩设备的设计起到了较好的指导作用。

然而, 综合分析各个时期冲锤-杆撞击研究工作, 就不难发现: 所有研究工作的核心无一例外地是冲锤-杆撞击的正问题, 即已知冲锤-杆撞击系统的材料性质和几何结构, 求解该系统的应力状态或系统输出的应力波。与此相对应, 称已知系统输出的应力波, 求解冲锤-杆撞击系统的性能和(或)结构参数为其反问题。冲锤-杆撞击反问题有两种类型, 一类反问题是根据实测的撞击系统的输出应力波, 求其描述产生该应力波的模型参数, 由于测量结果存在一定的随机性, 这类问题实质上是属于系

统辨识; 第二类反问题是, 针对撞击系统的工
作对象, 如岩石, 确定一最佳的应力波形, 要
求设计能产生该应力波形的冲锤, 这实质上是
系统设计问题。

在六十年代, Fairhurst^[1]曾提出了在冲击
凿岩中有利的能量传递的最优应力波形, 如何
设计相应的冲锤一直是矿业机械设计理论中悬
而未决的课题。显然易见, 冲锤-杆撞击系统反
问题的提出和解决, 对冲击式凿岩设备和沉桩
设备的设计具有非常重要的理论意义和实用价
值。这里还需指出, 由于已有研究^[8]表明: 在
用霍布金生装置(SHPB)进行材料动态性能测
试中, 采用适当的应力波形加载可以消除材料
的动态应力-应变曲线的 Pochhammer Chree
振荡。因此, 冲锤-杆撞击反问题的解决, 对材
料动态性能测试中冲锤的改进具有直接指导意
义。

2 数学模型

2.1 理论准备

根据应力波通过冲锤-杆撞击系统所遵循
的动量守恒条件, 可以推导出单波使冲锤-杆
撞击系统的截面积所受力必和其运动速度成正
比, 其比例系数称为广义波阻, 即

$$p = mv \quad (1)$$

式中 p —冲锤或杆受力值, 以压力为正, N;

① 国家自然科学基金资助课题 收稿日期: 1994-04-26; 修回日期: 1994-10-27

m —冲锤或杆的广义波阻(以下简称波阻), N·s/m; v —冲锤或杆中所考察的截面的运动速度, m/s。

并且

$$m = \rho \cdot \alpha \cdot A \quad (2)$$

式中 ρ —冲锤或杆的密度, kg/m³; α —纵波在冲锤或杆中的传播速度, m/s; A —冲锤或杆中所考察截面的面积, m²。

由于冲锤或杆一般是等质的, 其波速和密度在各截面上可视为恒定, 故冲锤在其长度上的波阻变化取决于截面面积的变化。

研究表明^[7], 整体速度为 V 的冲锤与冲锤中同时传播有 $\pm \frac{1}{2}mV$ 的顺、逆两波相等效, 即可以认为在冲锤撞击的初始时刻, 冲锤的各个截面上都有以下两种波存在。

$$\begin{cases} p_k^0 = \frac{1}{2}m_k V \\ q_k^0 = -\frac{1}{2}m_k V \end{cases} \quad (3)$$

式中 p_k^0, q_k^0 —冲锤中 k 截面上初始顺、逆波, N; m_k —冲锤中 k 截面的波阻, N·s/m; V —冲锤撞击速度, m/s。

这样, 撞击问题就转化为波的透、反射问题。

2.2 离散化处理

设有某一形状的等质冲锤, 以速度 V 撞击静止并可视为无限长的杆, 在杆中产生一应力波, 如图 1 所示。

众所周知, 形状较复杂的冲锤-杆撞击系统的波动方程是不便用解析方法直接求解的, 通常的办法是将系统进行离散化处理。这里, 将长为 L 的冲锤均分为 n 个等长度段, 每段长 $\Delta L = L/n$, 并将各段依次编上 1, 2, …, n 号,

设第 k 段的截面各为 A_k , 波阻 m_k ; 段内截面上受力 R_k 可以视作是顺、逆两波合成的结果。设顺、逆两波分别为 p_k, q_k , 故 $R_k = p_k + q_k$ 。因为杆假定为等径同质, 故杆中每个截面通过的波是相同的, 因而只需取一段来考察, 编号为 0。根据无限长杆假设, 杆中无逆波 $q_0 = 0$ 。因此, 杆的顺波也就是系统所输出的应力波 $R_0 = p_0$, 当 ΔL 很小时, 可以认为每段内无面积、波阻变化, 所以段内各截面也无应力变化, 这样, 经离散化处理的撞击系统就可以由一组向量来表征:

截面积向量 $A = (A_0, A_1, \dots, A_n)^T$

波阻向量 $m = (m_0, m_1, \dots, m_n)^T$

顺波向量 $p = (p_0, p_1, \dots, p_n)^T$

波阻向量 $q = (q_0, q_1, \dots, q_n)^T$

2.3 数学描述

冲锤-杆撞击系统数学模型就是用数学方法描述系统的几何和物理向量 A, m 与系统受力状态向量 p, q 之间的关系。为此, 考察第 k 段中的顺、逆两波的变化规律, 设在撞击后的 t 时刻, 该段内的顺、逆两波分别为 p_k^t, q_k^t , 经历 $\Delta t = \Delta L/a$ 时间后, 即在 $t+1$ 时刻, 该段顺、逆两波变为

$$\begin{cases} P_k^{t+1} = u_k p_{k+1}^t + (1-u_k) q_k^t \\ (k = 0, 1, \dots, n-1) \\ q_k^{t+1} = (u_{k-1}-1)p_k^t + (2-u_{k-1})q_{k-1}^t \\ (k = 0, 1, \dots, n-1) \end{cases} \quad (4)$$

式中 u_k —波从第 $k+1$ 段截面向第 k 段截面的透射系数, 并且

$$u_k = \frac{2m_k}{m_{k+1} + m_k} \quad (k = 0, 1, \dots, n-1) \quad (5)$$

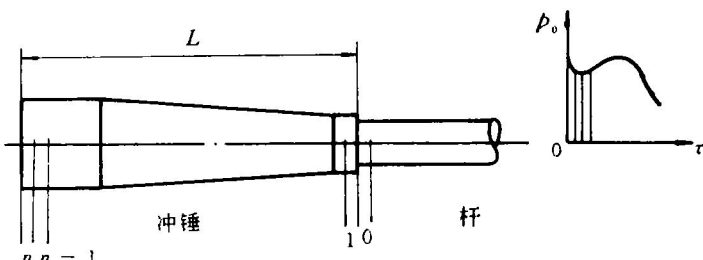


图 1 冲锤-杆撞击系统

当冲锤和杆的材料相同时

$$u_k = \frac{2A_k}{A_{k+1} + A_k} \quad (k = 0, 1, \dots, n-1) \quad (6)$$

考虑到冲锤的非撞击端为自由端, 波阻可视为0, 故 $p_n^{t+1} = -q_n^t$, 这样, 可以用矩阵形式来表示整个系统中各段的顺、逆两波为

$$\begin{bmatrix} p_0 \\ p_1 \\ \vdots \\ p_{n-1} \\ p_n \end{bmatrix}^{t+1} = \begin{bmatrix} 0 & u_0 & 0 & 0 & \cdots & 0 \\ 0 & 0 & u_1 & 0 & \cdots & 0 \\ \vdots & \vdots & \vdots & \vdots & & \\ 0 & \cdots & u_{n-1} & 0 & & \\ 0 & \cdots & & & & \end{bmatrix}^t \begin{bmatrix} p_0 \\ p_1 \\ \vdots \\ p_{n-1} \\ p_n \end{bmatrix}^t$$

$$+ \begin{bmatrix} 1-u_0 & 0 & \cdots & 0 \\ 0 & 1-u_1 & 0 & \cdots & 0 \\ \vdots & \vdots & \vdots & \vdots & \\ 0 & \cdots & 1-u_{n-1} & 0 & \\ 0 & \cdots & & -1 & \end{bmatrix} \begin{bmatrix} q_0 \\ q_1 \\ \vdots \\ q_{n-1} \\ q_n \end{bmatrix}^t \quad (7a)$$

$$\begin{bmatrix} q_1 \\ q_2 \\ \vdots \\ q_{n-1} \\ q_n \end{bmatrix}^{t+1} = \begin{bmatrix} 0 & u_0 - 1 & 0 & 0 & \cdots & 0 \\ 0 & 0 & u_1 - 1 & 0 & \cdots & 0 \\ \vdots & \vdots & \vdots & \vdots & & \\ 0 & \cdots & \cdots & u_{n-2} - 1 & 0 & \\ 0 & \cdots & 0 & u_{n-1} - 1 & 0 & \end{bmatrix}^t \begin{bmatrix} p_0 \\ p_1 \\ \vdots \\ p_{n-1} \\ p_n \end{bmatrix}^t$$

$$+ \begin{bmatrix} 2-u_0 & 0 & \cdots & 0 \\ 0 & 1-u_1 & 0 & \cdots & 0 \\ \vdots & \vdots & \vdots & \vdots & \\ 0 & \cdots & 2-u_{n-2} & 0 & 0 \\ 0 & \cdots & 0 & 2-u_{n-1} & 0 \end{bmatrix} \begin{bmatrix} q_0 \\ q_1 \\ \vdots \\ q_{n-1} \\ q_n \end{bmatrix}^t \quad (7b)$$

综合(7a)、(7b)式, 并考虑到杆中无逆波 $q_0 = 0$, 即在综合矩阵中去掉其对应的列可得(8)式, 令(8)式中的 $2n+1$ 阶方阵为 G , 则(8)式可简化为

$$\begin{pmatrix} p \\ q \end{pmatrix}^{t+1} = G \begin{pmatrix} p \\ q \end{pmatrix}^t \quad (9)$$

$$\begin{bmatrix} p_0 \\ p_1 \\ \vdots \\ p_{n-1} \\ p_n \\ q_1 \\ q_2 \\ \vdots \\ q_{n-1} \\ q_n \end{bmatrix}^{t+1} = \begin{bmatrix} 0 & u_0 & 0 & \cdots & 0 & 0 & \cdots & 0 \\ 0 & 0 & u_1 & 0 & \cdots & 0 & 1-u_1 & 0 & \cdots & 0 \\ \vdots & \vdots & \vdots & \vdots & & \vdots & \vdots & \vdots & & \\ 0 & \cdots & & u_{n-1} & 0 & \cdots & 1-u_{n-1} & 0 & \\ 0 & \cdots & & 0 & 0 & \cdots & & -1 & \\ 0 & u_0 - 1 & 0 & \cdots & 0 & 0 & \cdots & 0 \\ 0 & 0 & u_1 - 1 & 0 & \cdots & 0 & 2-u_1 & 0 & \cdots & 0 \\ \vdots & \vdots & \vdots & \vdots & & \vdots & \vdots & \vdots & & \\ 0 & \cdots & u_{n-2} - 1 & 0 & & 0 & \cdots & 2-u_{n-2} & 0 & 0 \\ 0 & \cdots & & u_{n-1} - 1 & 0 & & 0 & \cdots & 2-u_{n-1} & 0 & 0 \end{bmatrix} \begin{bmatrix} p_0 \\ p_1 \\ \vdots \\ p_{n-1} \\ p_n \\ q_1 \\ q_2 \\ \vdots \\ q_{n-1} \\ q_n \end{bmatrix}^t \quad (8)$$

$$\begin{pmatrix} p \\ q \end{pmatrix}^{t+1} = G \begin{pmatrix} p \\ q \end{pmatrix}^t \quad (10)$$

根据(5)式, 将撞击等效关系(3)式变换为

$$\begin{aligned} p_k^0 &= -q_k^0 = (1/2)m_k V \\ &= (1/2)m_0 V \prod_{j=1}^k \frac{2-u_{j-1}}{u_{j-1}} \end{aligned} \quad (k = 1, 2, \dots, n) \quad (11)$$

杆初始为静止, 故

$$p_0^0 = 0 \quad (12)$$

将(11)、(12)两式代入(10)式并展开得(13)式, (10)、(13)式就是冲锤-杆撞击系统离散化数学模型。等式左边诸元素表征了系统的受力状态, 当撞击参数 m_0 和 V 一定时, 系统的受力状态完全取决于冲锤的几何形状。这是因为右边矩阵中的诸元素 u_0, u_1, \dots, u_{n-1} , 是由冲锤各段的截面积 A 决定的。

当系统的几何形状向量 $A = (A_0, A_1, \dots, A_n)$ 为已知时, 由(5)或(6)式能方便地求得系统模型中右边矩阵中的诸元素 $u = (u_0, u_1, \dots, u_{n-1})$ 的值。从而求得任一时刻系统中各处的受力状态。这也就是说冲锤-杆撞击正问题可以通过矩阵相乘运算而方便地解决。

当系统中某处的各时刻的受力状态为已知时, 一般多为杆的受力状态为已知, 即已知 $R_0 = (R_0^1, R_0^2, \dots, R_0^{2n})$ 时, 通过求解模型右边矩阵中的诸元素 $u = (u_0, u_1, \dots, u_{n-1})$, 从而求得 A 向量中诸元素, 这就是冲锤-杆撞击反问题。

$$\begin{bmatrix} p_0 \\ p_1 \\ \vdots \\ p_n \\ q_1 \\ \vdots \\ q_n \end{bmatrix}^{t+1} = \frac{m_0 V}{2} \begin{bmatrix} 0 & u_0 & 0 & \cdots & 0 & 0 & \cdots & 0 \\ 0 & 0 & u_1 & 0 & \cdots & 0 & 1 - u_1 & 0 & \cdots & 0 \\ \vdots & \vdots & \vdots & \vdots & & \vdots & \vdots & & \vdots \\ 0 & & \cdots & 0 & & 0 & \cdots & -1 \\ 0 & u_0 - 1 & 0 & \cdots & 0 & 0 & \cdots & 0 \\ \vdots & \vdots & \vdots & \vdots & & \vdots & & \vdots \\ 0 & \cdots & u_{n-1} - 1 & 0 & \cdots & 2 - u_{n-1} & 0 & \end{bmatrix}^t \begin{bmatrix} 0 \\ (2 - u_0)/u_0 \\ \vdots \\ \prod_{j=1}^n \frac{2 - u_{j-1}}{u_{j-1}} \\ - \frac{(2 - u_0)}{u_0} \\ \vdots \\ - \prod_{j=1}^n \frac{2 - u_{j-1}}{u_{j-1}} \end{bmatrix} \quad (13)$$

3 实例求解

已知冲锤-杆撞击系统冲锤长 $L = 0.12\text{ m}$, 冲击速度为 $V = 5\text{ m/s}$, 冲锤材料的密度为 $\rho = 8000\text{ kg/m}^3$, 纵波速度 $a = 5000\text{ m/s}$; 杆的波阻 $m_0 = 16 \times 10^3\text{ N} \cdot \text{s/m}$; 杆中受力状态变化如图2所示(即系统的输出)。求冲锤轮廓尺寸。

求解思路如下:

(1) 将已知的杆中波形离散化, 考虑到波的透反射规律, 取样的时间间隔为 $2\Delta\tau$ 。这里, 取 $n = 2$, 故 $2\Delta\tau = 2\Delta L/a = 24\mu\text{s}$ 。取样开始时间为 $\Delta\tau = 12\mu\text{s}$ 。这样, 就得到了杆中相应时刻的值, 即

$$\begin{aligned} p_0 &= (p_0^1, p_0^3) \\ &= (4 \times 10^4\text{ N}, 4.8 \times 10^4\text{ N}) \end{aligned}$$

(2) 逐步求解方程组。由系统数学模型(13)式可得方程组:

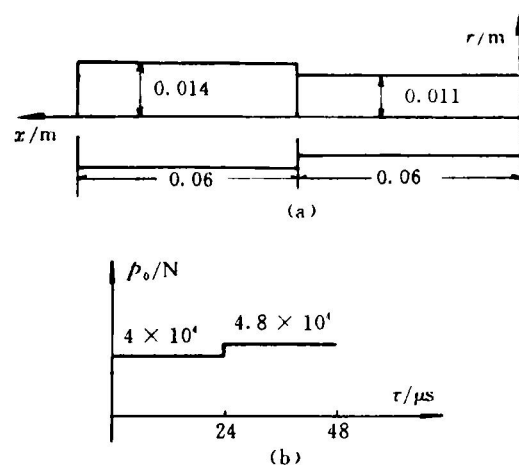


图2 冲锤轮廓(a)与杆中波形(b)

$$\begin{cases} p_0^1 = \frac{1}{2}m_0V(2 - \mu_0) \\ p_0^3 = \frac{1}{2}m_0V(2 - \mu_0)(2 - \mu_1) \\ \quad \cdot [(\mu_0 - 1)(1 - \mu_1) + (2 - \mu_1)] \end{cases}$$

逐步求解方程组可得

$$\mu = (\mu_0, \mu_1) = (1, 0.8)$$

(3) 递推求解轮廓尺寸: 由(5)式 $\mu_k = 2m_k/(m_{k+1} + m_k)$ ($k = 0, 1$) 得到 $m_1 = 16 \times 10^3\text{ N} \cdot \text{s/m}$, $m_2 = 24 \times 10^3\text{ N} \cdot \text{s/m}$; 由(2)式 $m = \rho \cdot a \cdot A$ 得到 $A_1 = 4 \times 10^{-4}\text{ m}^2$, $A_2 = 6 \times 10^{-4}\text{ m}^2$; 一般冲锤为回转体, 当第 k 段的截面积为 A_k 时, 则其半径 $r_k = (A_k/\pi)^{1/2}$, 由此可求得 $r_1 \approx 1.1 \times 10^{-2}\text{ m}$, $r_2 \approx 1.4 \times 10^{-2}\text{ m}$ (图2)。

由上可知, 冲锤-杆撞击反问题归结于求解 n 元方程组, 当要求输出的理想波形较复杂时, 在一定精度要求下, 系统分段必须更细, n 取较大值, 方程组就更庞大, 求解就变得较为复杂, 这时就必须寻求合适的求解方法借助于计算机进行, 这将在另文介绍。

参考文献

- 1 Fairhurst C A. Mine and Quarry Engineering, 1961, 27: 327—328.
- 2 Hustrulid W A, Fairhurst C A. Int Rock Mech Min Sci, 1972, 9: 417—449.
- 3 Fischer H C. Appl Scient Res, 1958, A8: 105—139; A9: 9—42.
- 4 Dutta P K. Int Rock Mech Min Sci & Geomech Abstr, 1968, 5(6): 501—518.
- 5 Lundberg B. Int Rock Mech. Min Sci & Geomech Abstr, 1973, 10: 381—399—401—419, 421—435.
- 6 赵统武. 金属学报, 1980, 16(2): 262—275.
- 7 徐小荷. 冲击岩理论基础与计算方法. 沈阳: 东北工学院出版社, 1986. 75—144.
- 8 李夕兵等. 爆破与冲击, 1993, 13: 125—130.